

# 山西沁水县下川遗址富益河圪梁地点 2014年T1发掘简报

北京师范大学历史学院 山西省考古研究院

**关键词：**山西沁水县 下川遗址 富益河圪梁地点 旧石器时代晚期早段

**KEYWORDS:** Qinshui County, Shanxi Xiachuan Site Fuyihe Geliang Location Early Upper Paleolithic Period

**ABSTRACT:** One of three test units, T1, excavated at the Fuyihe Geliang location of the Xiachuan site in 2014, yielded early Upper Paleolithic cultural deposits dating to 33440-32700 BP. Multiple hearths and the co-occurrence of grinding stones and hematite ores were revealed. Although quartz sandstone is the prevailing raw material, most stone tools are made from black flint. Besides small scrapers and pointed tools, some characteristic stone tools such as triangular backed knives, wedge-shaped objects, and large quartz stone tools were retrieved as well. These findings suggest that the Fuyihe Geliang location was probably involved in the production of hematite powder during the early Upper Paleolithic period.

下川遗址位于山西晋城市沁水县中村镇下川村，是一处重要的旧石器时代晚期遗址，包括富益河圪梁、小白桦圪梁、水井背、牛路等地点，这些地点分布在下川盆地周围的高地（当地群众称为“圪梁”）上。富益河圪梁处于下川盆地与富益河河谷之间，海拔1572~1625米，地理坐标为东经112°0′43″、北纬35°26′22″，是下川遗址中文化内涵最丰富的一个地点（图一）。该地点属于下川盆地南端西侧台地及富益河二级阶地，其南侧陡立，邻富益河，高出河床约30米；北部稍平缓，逐渐下降至盆地底部；西与山脉相连；东至季节河。呈西高东低的条状，东西长约750、南北宽约300米，面积约22.5万平方米，台地表面很容易见到黑色燧石碎片。

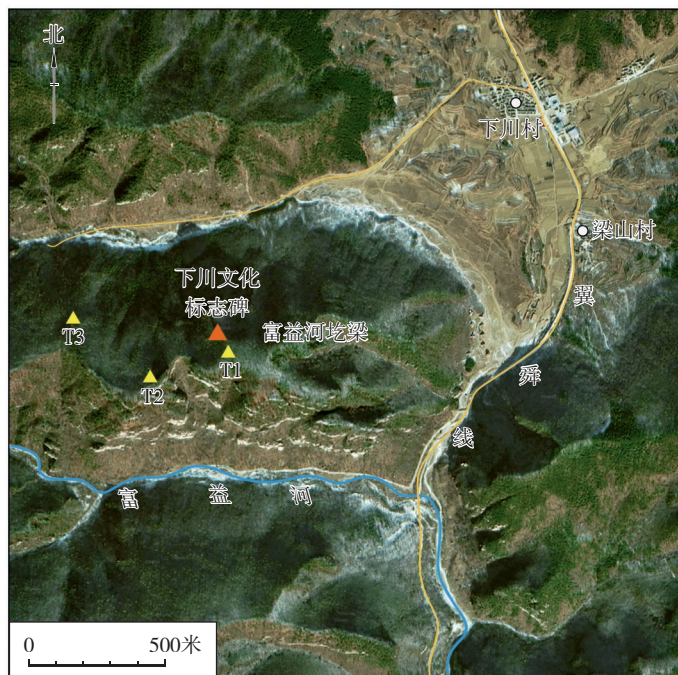
有两次大规模的调查和发掘。一次是1973年由山西省文管会进行的发掘，并于1978年发



图一 富益河圪梁地点位置示意图

富益河圪梁地点自1970年发现以来，曾

(C)1994-2021 China Academic Journal Electronic Publishing House. All rights reserved. <http://www.cnki.net>



图二 富益河圪梁地点探方分布图

表了当时发掘的资料以及在阳城、沁水和垣曲等地的调查资料<sup>[1]</sup>。另一次是由中国社会科学院考古研究所和山西省考古研究所在20世纪70年代末对下川盆地诸地点进行了大规模的发掘，并于2006年出版了发掘研究成果<sup>[2]</sup>。由于以往的碳十四测年结果显示下川遗址的年代数据跨越较大，笔者一直怀疑是否存在将不同时代的文化遗物混在一起的可能性。2014年经国家文物局批准，北京师范大学历史学院与山西省考古研究所组织联合考古队对富益河圪梁地点再次进行了发掘，自遗址标识碑附近向西布置3个探方，其中QX2014T1位于标识碑附近，最初的发掘面积为5米×5米，后扩至5米×8米，共40平方米（图二）。本次发掘的目标是试图厘清不同层位的时代和文化内涵的关系。发掘时先按自然地层堆积划分大层，在大层内再按10厘米或5厘米厚度划分水平层，出土遗物按水平层进行统计编号。根据整理情况，QX2014T1的文化内涵为该遗址以前没有发现的简单石核-石片技术，因此先将其发掘收获简报如下。

## 一、地层堆积

### （一）阶地地层堆积情况

综合《下川文化——山西下川遗址调查报告》（下文简称为《调查报告》）中的描述与我们的调查资料，富益河二级阶地的地层堆积自上而下可划分为六层（图三）。

第一层：耕土层，灰黄色亚黏土，土质疏松，厚0.05~0.3米。出土部分小石器，以燧石石器为主，另有少量砾石及现代遗物。

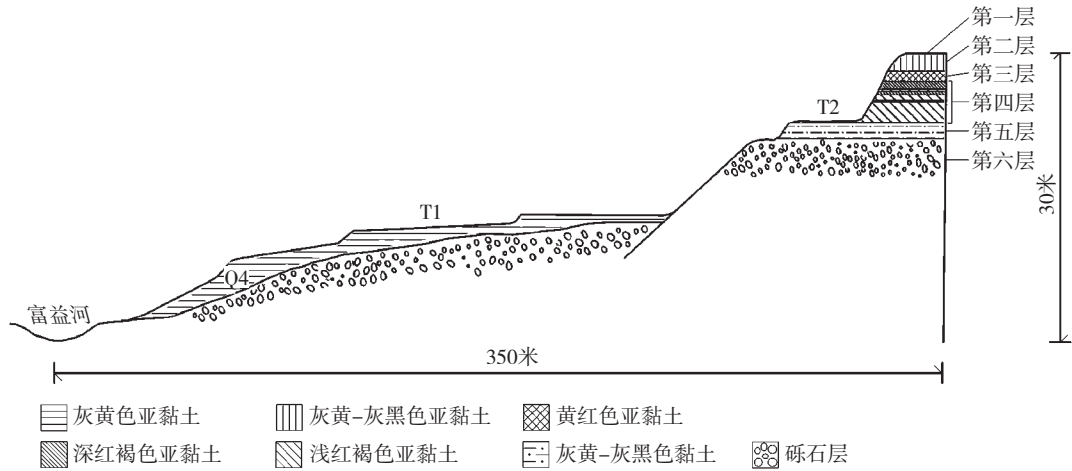
第二层：灰黄-灰黑色亚黏土层，厚1.6米。本层可细分为三部分。上部0.2~0.3米为灰黄色亚黏土层，土质疏松，内含较多的植被根系，发现燧石、石英砂岩质的石制品和木炭等遗物。中部0.85~1米左右为灰黑色亚黏土层，层理结构明显，发现木炭、赤铁矿、颜料及大量石制品，文化遗物、火塘遗迹、石器加工场所主要集中在这一层。下部0.4米以灰黑色亚黏土为主，夹杂黄红色土，石制品数量骤减。第二层相当于《调查报告》中所称“上文化层”。

第三层：黄红色亚黏土层，土质较致密，块状结构，铁锰质胶膜较发育，厚0.9米。此层未见任何文化遗物。

第四层：红褐色亚黏土层，即《调查报告》中的“下文化层”。包含三条浅红褐色亚黏土与三条深红褐色亚黏土，厚3.5米。

第五层：灰黄-灰黑色黏土层，整体呈灰黄色，夹杂黑色小斑点，厚1.5米。仔细观察黏土母质为灰黄色，但层理之间呈黑色。土质极为坚硬，层理发育，层理厚0.5~1厘米。偶有砾石发现。

第六层：砾石层。砾石成分主要为石英砂岩和砂岩，砾石磨圆度较好，但分选性差。未见底。



图三 富益河二级阶地地层剖面示意图

### (二) 探方地层堆积情况

QX2014T1发掘的主要堆积属于《调查报告》所说的“上文化层”，即阶地的第二层堆积。经调查，此次发掘的部位因在20世纪70年代曾烧砖取土，导致阶地第二层上部堆积缺失。而探方内现存的地层堆积自上而下可分为三层（图四）。

第1层：耕土层，实际为阶地第二层中部扰动的部分。土色杂，土质松软，内含大量植物根系，厚0.1米。发现燧石、砾石、脉石英、石英砂岩等质地的石制品，并伴有现代物品。

第2层：灰黑色亚黏土层，相当于阶地第二层中部堆积。土质较硬，层理结构明

显，内含少量植物根系，厚0.55米。出土有木炭、赤铁矿、颜料、大量石制品等，并发现火塘3个。文化遗物较多，但向下逐层减少。木炭标本（QX14T1③-1：H3）经贝塔实验室测定，校正后的年代为距今33440～32700年（Beta-391333）。

第3层：黄红色亚黏土层，与阶地第二层下部和第三层上部相当。土质比灰黑色亚黏土层更硬，密度大，覆盖大量铁锰胶膜，仅含有少量的砾石、石英砂岩等质地的石制品，厚0.35米。

## 二、遗迹及遗物分布

QX2014T1发现有三处火塘，其中火塘



图四 QX2014T1北壁地层剖面局部  
2.灰黑色亚黏土 3.黄红色亚黏土

1 (H1) 是由直径约10厘米的砾石及石块围成的半个圆圈，直径0.4~0.5米。石圈外有三块扁平状砾石呈三角状分布，火塘内发现的木炭很少。火塘2 (H2) 内含大量木炭和火烧土，但木炭周围没有石块、砾石围绕。火塘3 (H3) 由砾石和石块围成，内含少量的木炭和火烧土。三个火塘虽不在同一水平

面，但与地形的倾斜状况一致，从剖面上看，应属于同一个生活面 (图五)。

在此生活面上分布有石研磨盘、铁矿石、颜料、木炭、圆砾石以及燧石和石英岩打制的石核、石片等。圆砾石为石英岩砾石，未见打制痕迹，从H2和H3周围有砾石环绕来看，这些圆砾石主要功能之一可能与

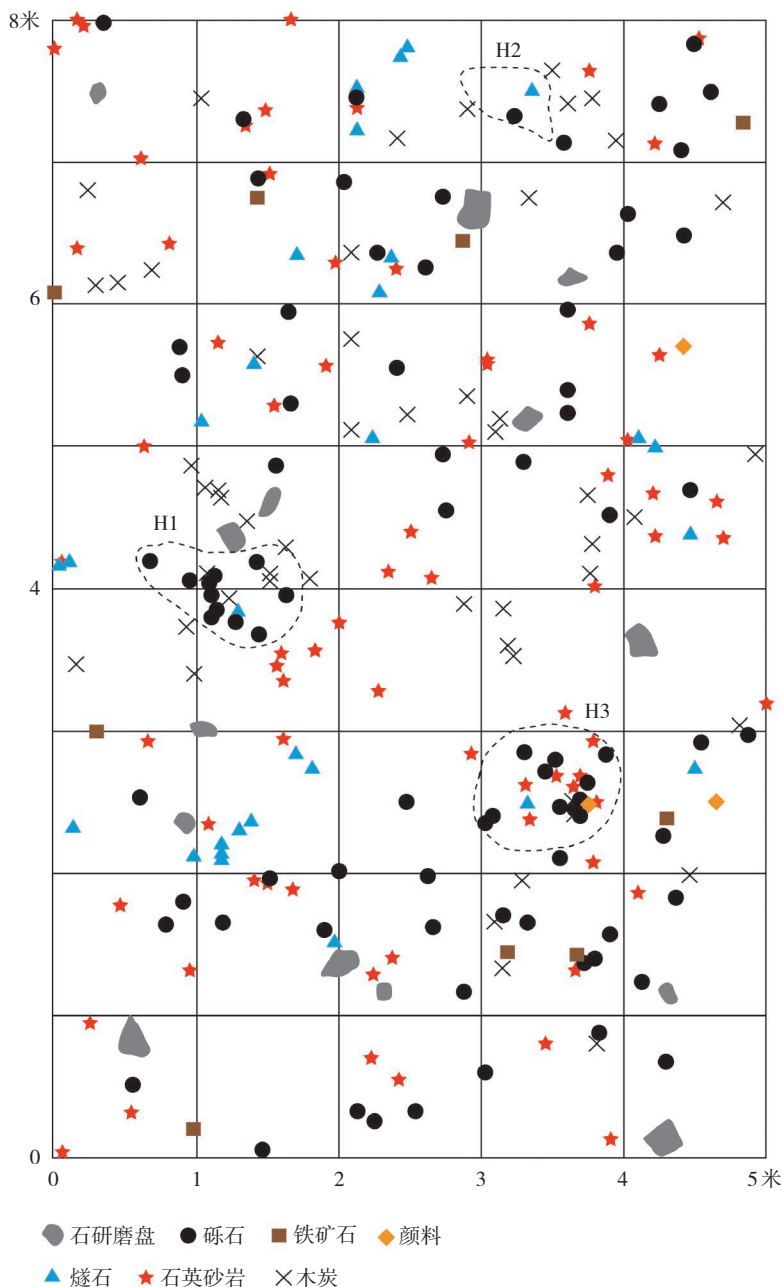
构建火塘有关，但砾石的分布并没有一定的规律，说明火塘在使用完、埋藏前遭到一定程度的破坏。燧石和石英砂岩制作的石核、石片以及工具的分布多与火塘有关，这或许暗示在火塘周围存在打制或修理石器的活动。我们对H2周围的土壤进行淘洗和浮选，发现燧石碎屑距火塘越远、数量越少，这似乎也佐证了这一推测。

灰黑色的铁矿石数量较少，虽处于火塘周围，但距离较远，这些铁矿石可能是使用完毕后废弃的垃圾。在发掘过程中还发现有红色的赤铁矿颜料，多为粉末状，很难采集。

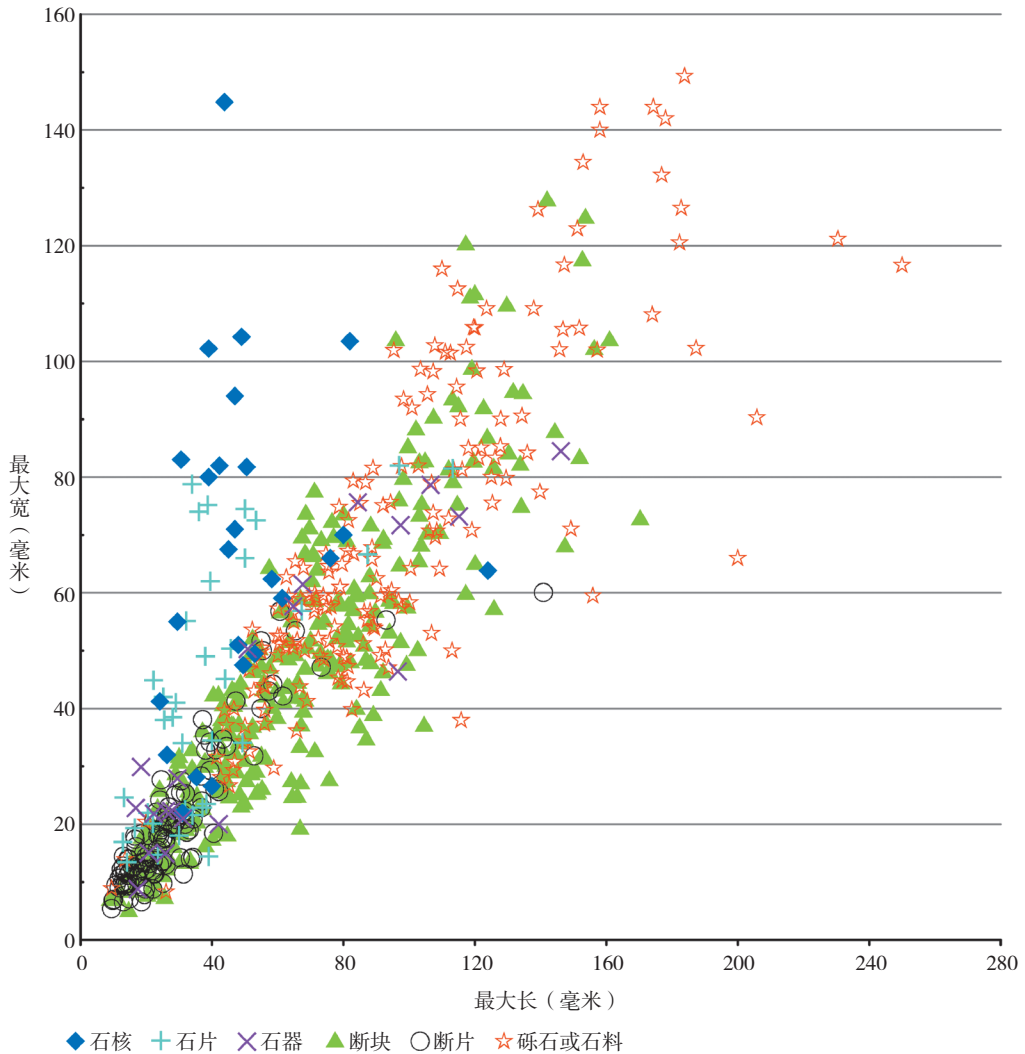
### 三、出土遗物

#### (一) 石制品

QX2014T1共出土石制品660件，其中石核25件，约占3.79%；石片36件，约占5.45%；断片和裂片120件，约占18.18%；石器 (刮削器、楔形析器、锯齿刃器、尖状器、铍状器、石斧



图五 QX2014T1火塘及石制品平面分布情况

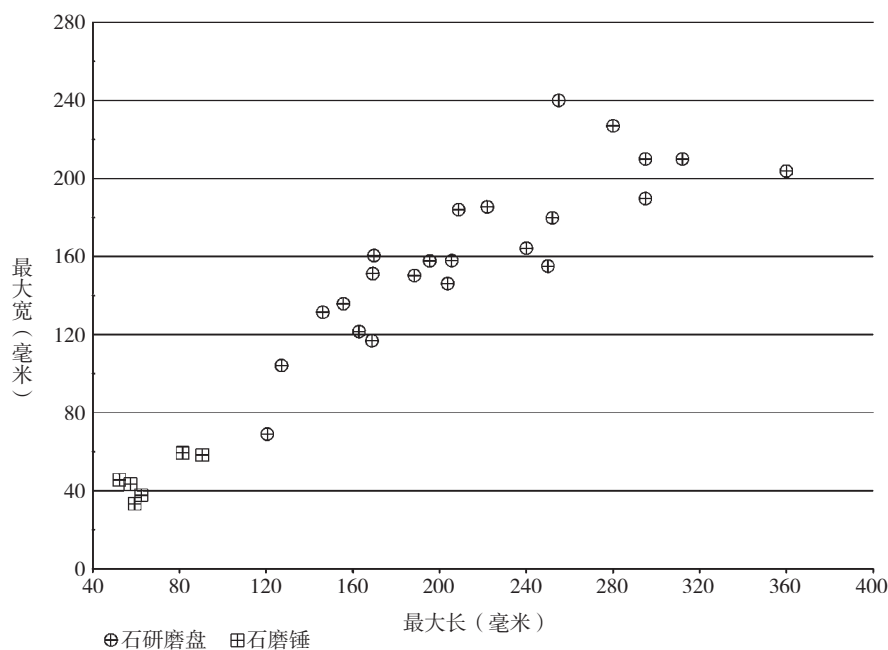


图六 石核、石片、石器、断块、断片及砾石或石料长宽数值散点分布图

毛坯、研磨盘、磨锤) 48件, 约占7.27%; 断块254件, 约占38.48%; 砾石177件, 约占26.82% (图六; 图七)。石料岩性较丰富, 包括石英砂岩443件, 约占67.12%; 燧石153件, 约占23.18%; 脉石英43件, 约占6.52%; 玛瑙16件, 约占2.42%; 火山岩3件, 约占0.45%; 蛋白石和硅质灰岩各1件, 各约占0.15%。

1.石核 25件, 其中单台面石核10件, 占40%; 双台面石核12件, 占48%; 多台面石核1件, 占4%; 盘状石核2件, 占8%。在石料岩性方面, 石英砂岩17件, 占68%; 燧

石5件, 占20%; 铁矿石2件, 占8%; 脉石英1件, 占4%。石核长最大123.97毫米, 最小24.15毫米, 平均50.06毫米; 宽最大144.85毫米, 最小22毫米, 平均67.53毫米; 厚最大112.06毫米, 最小10.2毫米, 平均49.45毫米。台面角最大120度, 最小57度, 平均85度。石核片疤比例最大为100%, 最小仅占5%, 平均为45%。石核体上遗留的片疤共有98个, 平均每个石核有4.26个片疤。以自然面为石核台面的16件, 占64%; 以破裂面为台面的5件, 占20%; 以自然面、破裂面为台面者4件, 占16%。

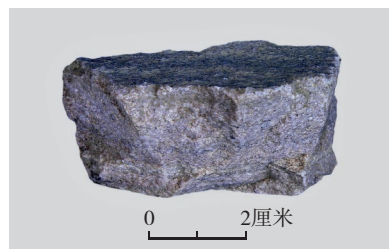


图七 石研磨盘、磨锤长宽数值散点分布图

112.06毫米，最小10.2毫米，平均53.28毫米。台面角最大102度，最小57度，平均83度。石核的片疤比例最大达100%，最小仅占15%，平均为50%。石核体上遗留的片疤数最多7个，最少2个，平均4.42个，片疤均较深。以自然面为石核台面7件，约占58.33%；

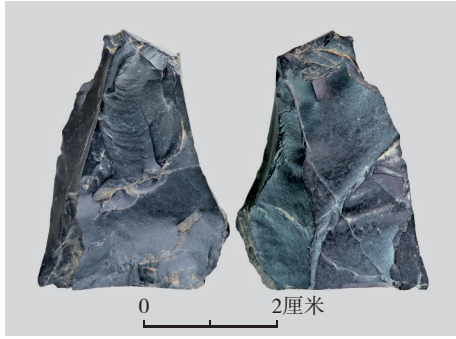
单台面石核 10件。其中石英砂岩8件，占80%；燧石和铁矿石各1件，各占10%。石核长最大123.97毫米，最小24.15毫米，平均57.98毫米；宽最大103.5毫米，最小41.21毫米，平均69.52毫米；厚最大91毫米，最小29.38毫米，平均48.52毫米。台面角最大120度，最小65度，平均86度。石核片疤占石核体比例最大为65%，最小仅5%，平均为33%。石核体上遗留的片疤数最多6个，最少1个，平均3.5个，片疤均较深。以自然面为石核台面9件，占90%；以破裂面为台面1件，占10%。QX14T1②-1：144，浅红色石英砂岩，毛坯为板状砾石。石核台面是自然台面，台面角为65度、72度。在器身保留4个片疤，片疤层数为两层，片疤较深，片疤占石核体比例为60%。长29.5、宽55、厚36.5毫米，重70克（图八）。

以破裂面为台面2件，约占16.67%；两个台面中一为破裂面、另一为自然面的3件，占25%。QX14T1③-3：61，黑色燧石，毛坯为断块。石核台面均为人工台面，台面角为102度、88度。在器身保留7个片疤，片疤层数为三层，片疤较深，片疤占石核体比例达100%。长40、宽26.6、厚13.5毫米，重17.2克（图九）。QX14T1③-6：13，灰白色石英砂岩，毛坯为板状砾石。有两个上下相对的自然台面，台面角为92度、70度、67度、82度。石核表面遗留有7个片疤，片疤层数为两层，片疤深，打击点清楚。片疤占石核体表面30%，砾石面占70%。长30.6、宽83、厚63毫米，重257.2克（图一〇）。



图八 单台面石核（QX14T1②-1：144）

双台面石核 12件。其中石英砂岩8件，约占66.67%；燧石3件，占25%；铁矿石1件，约占8.33%。石核长最大80毫米，最小26.3毫米，平均43.5毫米；宽最大144.85毫米，最小22毫米，平均71.37毫米；厚最大



图九 双台面石核  
(QX14T1③-3:61)

多台面石核 1件(QX14T1②-1:33)。黑色燧石,毛坯为断块。石核台面有三个,为自然台面和人工台面,台面角为71~95度。在器身保留3个片疤,片疤层数为1层,片疤深,片疤占石核体比例为50%。长35.3、宽28.17、厚44.74毫米,重53.78克(图一一)。

盘状石核 2件。QX14T1③-4:21,白色脉石英,毛坯为砾石。石核台面为自然面,呈曲面,沿石核周边一圈进行向心打片,沿台面进行剥片的长度占整个台面周长的80%,台面角为80~90度。在器身保留有明显打击点的5个片疤,片疤较深,片疤占石核体比例为50%。长53、宽49.5、厚30毫米,重72克(图一二)。

2.石片 观察与测量的完整石片共36件,打片技术均为硬锤锤击法。其中Ⅱ型13件,约占36.11%;Ⅲ型6件,约占16.67%;Ⅳ型2件,约占5.56%;Ⅴ型6件,约占16.67%;Ⅵ型9件,占25%。从石料岩性看,石英砂岩最多,18件,占50%;燧石次之,13件,约占36.11%;玛瑙4件,约占

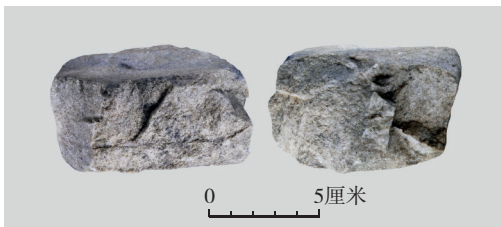


图一一 多台面石核  
(QX14T1②-1:33)

11.11%;脉石英和硅质灰岩各1件,各约占2.78%。石片角最大为130度,最小为75度,平均为111度。可从以下几个方面讨论36件石片的技术特征。

(1)石片大小与形状 两侧平行的石片3件,约占8.33%;准平行石片5件,约占13.89%;远端宽于近端(反汇聚)的石片20件,约占55.56%;近端宽于远端(汇聚)的石片8件,约占22.22%。石片长最大113.27毫米,最小13.2毫米,平均39.16毫米;宽最大81.44毫米,最小13.41毫米,平均43.07毫米;厚最大44.06毫米,最小2.67毫米,平均3.11毫米。宽薄型石片(长宽指数大于或等于61.8、宽厚指数小于61.8)有32件,约占88.89%;长薄型石片(长宽指数小于61.8、宽厚指数小于61.8)有4件,约占11.11%。

(2)石片背面特征 没有保留任何自然面的有15件,约占41.67%;皆为自然面的2件,约占5.56%;少于二分之一自然面的10件,约占27.77%;多于二分之一自然面的9



图一〇 双台面石核(QX14T1③-6:13)



图一二 盘状石核(QX14T1③-4:21)

件，占25%。石片背脊情况方面，单正纵脊8件，约占22.22%；单横脊3件，约占8.33%；单斜脊5件，约占13.89%；一横一纵1件，约占2.78%；有一自然背脊2件，约占5.56%；正“Y”形1件，约占2.78%；倒“Y”形1件，约占2.78%；复杂背脊6件，约占16.66%；背面无脊9件，占25%。



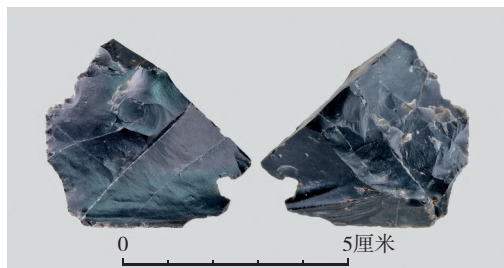
图一四 II型石片  
(QX14T1③-1:127)



图一五 III型石片  
(QX14T1③-4:43)

(3) 石片腹面特征 打击点明显的石片有32件，约占88.89%；不明显的石片4件，约占11.11%。打击泡明显的石片14件，约占38.89%；不明显的石片22件，约占61.11%。有锥疤的石片11件，约占30.56%；没有锥疤的石片25件，约占69.44%。放射线明显的石片7件，约占19.44%；不明显的石片29件，约占80.56%。同心波明显的石片15件，约占41.67%；不明显的石片21件，约占58.33%。

II型石片 QX14T1③-2:107，黑色燧石，宽型石片。台面为不规则的自然台面，台面长14.5、宽5.55毫米，台面角为128度。石片腹面凹，打击点、半锥体、同心波明显，打击泡、放射线不明显，有锥疤。背面保留有10%的自然面，背脊呈倒“Y”形。尾端形态呈羽状。两侧边呈反汇聚，侧边角度分别为83度、28度。长44.04、宽45.14、厚16.26毫米，重22.57克（图一三）。QX14T1③-1:127，黑色燧石，长型石片。台面为“牛鞭”形自然台面，台面长8.26、



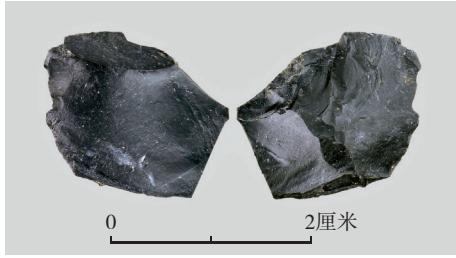
图一三 II型石片 (QX14T1③-2:107)

宽1.83毫米，台面角为128度。石片腹面较凹，同心波明显，打击点、打击泡、放射线、半锥体均不明显，无锥疤。背面保留有60%的自然面，背脊为单纵脊。尾端形态呈台阶状。两侧边准平行，侧边角度分别为48度、30度。长30、宽18.04、厚7.53毫米，重2.74克（图一四）。

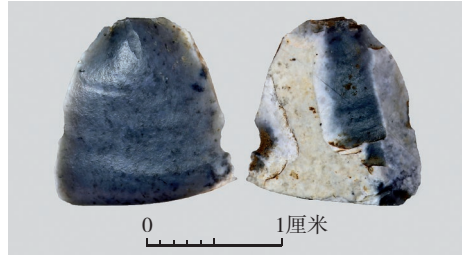
III型石片 QX14T1③-4:43，灰黑色玛瑙。台面长1.8、宽0.7毫米，台面角为101度。石片腹面凹，打击点、打击泡、同心波、半锥体不明显，有锥疤。背面无自然面，背脊呈正“Y”形。尾端形态呈羽状。两侧边呈汇聚状，侧边角度分别为41度、39度。长39、宽14.4、厚3.4毫米，重1.99克（图一五）。QX14T1②-2:13，黑色燧石，宽型石片。台面为不规则的自然台面，台面长11.39、宽5.26毫米，台面角为120度。石片腹面凹，打击点、放射线明显，打击泡、半锥体、同心波不明显，无锥疤。背面无自然面，无背脊。尾端形态呈台阶状。两侧边准平行，侧边角度为33度。长16.49、宽19.32、厚5.84毫米，重1.58克（图一六）。

IV型石片 QX14T1③-2:52，黑色燧石，宽型石片。台面为不规则的人工台面，台面长9.7、宽7.5毫米，台面角为116度。石片腹面凹，打击点、打击泡、同心波明显，半锥体、放射线不明显，无锥疤。背面保留有100%的自然面，背脊为单斜脊。尾端形态

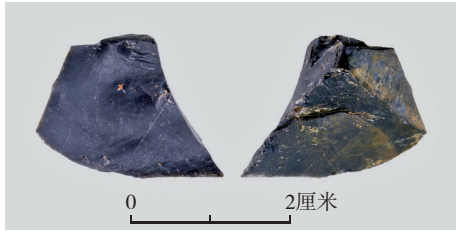




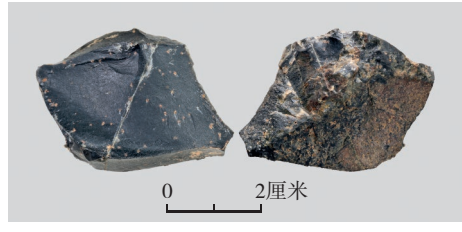
图一六 III型石片 (QX14T1②-2:13)



图一九 V型石片 (QX14T1③-3:8)



图一七 IV型石片 (QX14T1③-2:52)



图二〇 V型石片 (QX14T1③-4:38)



图一八 IV型石片 (QX14T1③-4:48)

呈羽状。两侧边呈反汇聚，侧边角度分别为80度、60度。长20.5、宽22、厚8.35毫米，重2.54克（图一七）。QX14T1③-4:48，粉红色石英砂岩，宽型石片。台面为三角形的人工台面，台面长53、宽18.8毫米，台面角为115度。石片腹面平，打击点明显，打击泡、半锥体、同心波、放射线不明显，无锥疤。背面保留有100%的自然面，无背脊。尾端形态呈台阶状。两侧边平行，侧边角度为23度。长97、宽82、厚18.5毫米，重220.87克（图一八）。

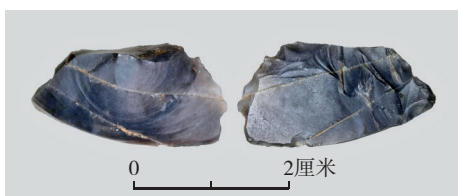
V型石片 QX14T1③-3:8，灰黑色玛瑙，宽型石片。台面为线状台面。石片腹面平，打击点、打击泡、同心波明显，半锥体、放射线不明显，无锥疤。背面保留

有70%的自然面，无背脊。尾端形态呈背向卷。两侧边呈反汇聚，侧边角度为39度。长14.13、宽13.41、厚2.67毫米，重0.65克（图一九）。QX14T1③-4:38，黑色燧石，宽型石片。台面为不规则的人工台面，台面长28.4、宽7.7毫米，台面角为130度。石片腹面凹，打击点、打击泡、同心波明显，半锥体、放射线不明显，有锥疤。背面保留有95%的自然面，背脊为一自然背脊。尾端形态呈台阶状。两侧边呈反汇聚，侧边角度为50度。长25.2、宽42、厚9.5毫米，重12.85克（图二〇）。

VI型石片 QX14T1③-2:46，黑色燧石，宽型石片。台面为不规则的人工台面，台面长10.5、宽4.76毫米，台面角为105度。石片腹面平，打击泡、同心波、半锥体、放射线明显，打击点不明显，有锥疤。背面无自然面，背脊为复杂背脊。尾端形态呈台阶状。两侧边汇聚，侧边角度分别为73度、57度。长23.5、宽14.7、厚5.63毫米，重1.98克（图二一）。QX14T1③-2:59，灰色玛瑙，宽型石片。台面为不规则的人工台面，台面长4、宽3.7毫米，台面角为95度。石片腹面凸，打击点、半锥体、打击泡、同心波明显，放射线不明显，无锥疤。背面无自然



图二一 VI型石片 (QX14T1③-2: 46)



图二二 VI型石片 (QX14T1③-2: 59)

面，背脊为复杂背脊。尾端形态呈背向卷。两侧边呈反汇聚，侧边角度为20度。长13.2、宽24.6、厚4.75毫米，重1.65克（图二二）。

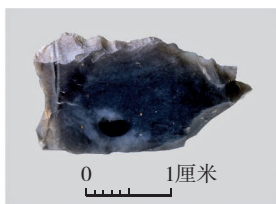
3.断片、裂片与断块 QX2014T1共出土断片、裂片120件，其中断片107件，约占89.17%；裂片13件，约占10.83%。原料为燧石的74件，约占61.67%；石英砂岩24件，占20%；脉石英13件，约占10.83%；玛瑙9件，占7.5%。出土断块254件，石料为石英砂岩的184件，约占72.44%；燧石38件，约占14.97%；脉石英28件，约占11.03%；火山岩2件，约占0.78%，蛋白石、玛瑙各1件，各约占0.39%。

4.石器 48件，包括刮削器、楔形析器、锯齿刃器、尖状器、石斧毛坯、研磨盘等。

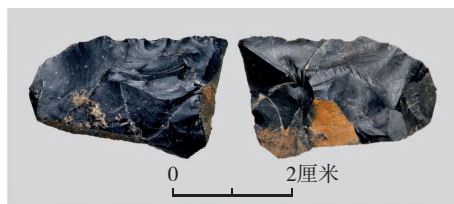
刮削器 7件。从刃缘形态来看，多为单直刃刮削器。原料为燧石的4件，玛瑙2件，石英砂岩1件。毛坯为锤击石片4件，砸击石片、裂片、断块各1件。刃角最大93度，最小20度，平均67度。长最大84.37毫米，最小17.41毫米，平均35.86毫米；宽最大75.62毫米，最小8.76毫米，平均26.18毫米；厚最大35.32毫米，最小3.03毫米，平均10.81毫米。QX14T1②-1: 58，单直刃刮削器。灰色燧石，毛坯为裂片。从腹面向背面正向加工，整条侧缘都有修理，刃缘加工长度比例达100%，修疤连续、疤痕浅，加工深度短，刃角25度。长17.41、宽8.76、厚3.03毫米，重0.56克（图二三）。QX14T1③-3: 56，单凸刃刮削器。灰色玛瑙，毛坯为石片。刃缘加工长度比例100%，转向加工，修疤连续、疤痕浅，加工深度短，刃角24度。长25.77、宽14.93、厚5.45毫米，重1.91克（图二四）。QX14T1③-3: 43，单直刃刮削器。黑色燧石，毛坯为断块。刃缘加工长度比例只有65%，修疤连续、疤痕浅，加工深度短，刃角65度。长31.25、宽21、厚12毫米，重7.56克（图二五）。QX14T1③-1: 79，单直刃刮削器。黑色燧石，毛坯为砸击石片。刃缘加工长度比例达90%，修疤连续、疤痕浅，加工深度短，刃角20度。长42、宽20、厚6.7毫米，重7.4克（图二六）。QX14T1③-1: 106，单凸刃刮削器。深灰色石英砂岩，毛坯为石片。刃缘加工长度比例100%，修疤连续、疤痕浅，加工深度短，刃角77~93度。长84.37、宽75.62、厚35.32毫米，重251.4克（图二七）。



图二三 石刮削器 (QX14T1②-1: 58)



图二四 石刮削器 (QX14T1③-3: 56)



图二五 石刮削器 (QX14T1③-3: 43)

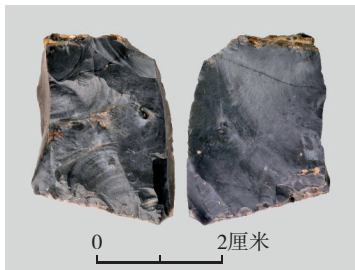


图二六 石刮削器  
(QX14T1③-1:79)

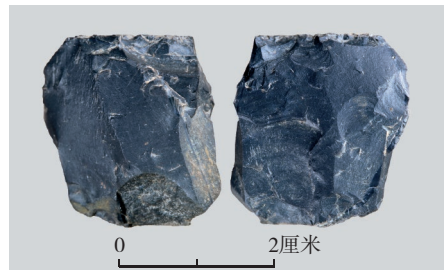


图二七 石刮削器  
(QX14T1③-1:106)

楔形析器 4件。一般呈四边形。与砸击石核或石片相似，两端和两面均有疤痕。下川遗址这类产品往往选择燧石石片或薄板状石材，显然不是为了剥取砸击石片，有学者认为与析裂木材有关，并称之为“楔形析器”。据刃缘多少，可分两型。I型在相对的两端都有剥片痕迹，II型在两两相对的四条边上均有剥片痕迹。剥片痕迹有的在前后两面都有疤，有的仅在一面有疤，疤痕多为碎疤，偶尔也有较大的片疤。根据疤痕的密集程度难以判断哪一端是刃缘或施力端，但据两端的薄厚程度，可推测薄的一端是作为刃缘与木材相接触，厚端与石锤相接触。长最大50.88毫米，最小22.3毫米，平均31.69毫米；宽最大50.3毫米，最小21.8毫米，平均29.17毫米；厚最大19.97毫米，最小7.8毫米，平均11.67毫米。QX14T1②-1:75，I型。黑色燧石，毛坯为石片。平面近四边形，纵截面近楔形，上端较厚，是向一边倾斜的自然面，刃缘较平直。使用石片远端进行析裂，刃缘有碎屑状疤痕层叠，石片背面有大的片疤由边缘向中央延伸。长27.59、宽22.28、厚9.89毫米，重6.65克（图二八）。QX14T1③-3:45，I型。黑色燧石，毛坯为厚的石片。平面呈矩形。两短边上有层叠碎疤，其中一端



图二八 I型石楔形析器  
(QX14T1②-1:75)



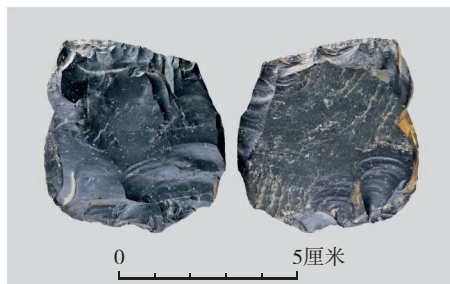
图二九 I型石楔形析器  
(QX14T1③-3:45)

有一较大的片疤。两端薄厚相当，看不出哪一端是刃缘或施力端。长26、宽22.3、厚7.8毫米，重4.36克（图二九）。QX14T1③-2:71，II型。黑色燧石，毛坯为石片。平面近四边形，纵截面近楔形，一侧面部分较厚。上下两端均为刃

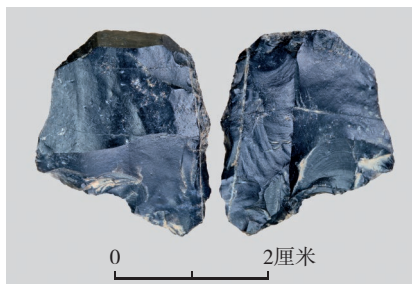
状薄缘，刃缘较倾斜，两侧有集中分布的碎屑状疤痕。石片两面均有大的片疤由边缘向中央延伸。长50.88、宽50.3、厚19.97毫米，重47克（图三〇）。QX14T1③-采集，II型。黑色燧石，毛坯为石片。平面呈梯形。一组刃的较薄一端两面都有剥片痕迹，较厚一端仅一面有剥片痕迹；另一组刃的较厚一端两面都有碎疤，较薄一端有一大片疤。长22.3、宽21.8、厚9毫米，重5.2克（图三一）。

锯齿刃器 1件（QX14T1②-1:152）。直刃锯齿刃器。黑色燧石，毛坯为断块。刃缘加工长度达100%，修疤连续、疤痕较深，加工深度短，平均刃角为72度。锯齿数有5个，锯齿最大高4.3毫米，最小高1.2毫米，齿间距分别为9.8毫米、16毫米、18.9毫米、20.65毫米。长96.53、宽46.41、厚29.54毫米，重104.02克（图三二）。

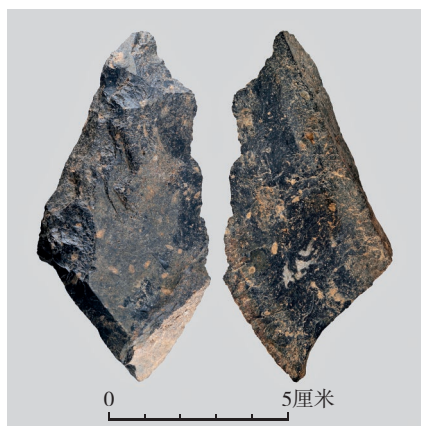
三角形琢背小刀 1件（QX14T1③-3:64）。此类器物日本学者称为“台形器”。黑色燧石，毛坯为石片。以石片的一侧边为刃缘，刃缘相邻两侧垂直修理出两个陡刃，



图三〇 II型石楔形析器  
(QX14T1③-2: 71)



图三一 II型石楔形析器  
(QX14T1③-采集)

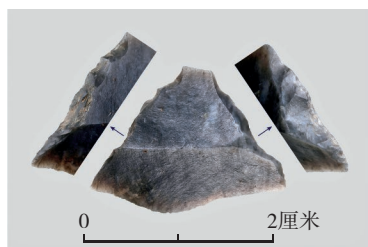


图三二 石锯齿刃器  
(QX14T1②-1: 152)

形成一个三角形，两陡刃为背，石片侧边为刃。刃长21、刃部至背部最大距离16、最厚4毫米，重1.12克（图三三）。

尖状器 1件（QX14T1②-1: 78）。黑色燧石，毛坯为石片。在石片右侧进行加工形成一角，呈背向加工。刃缘加工长度比例达80%，疤痕呈鳞状分布，修疤连续、疤痕浅，加工深度短，尖角128度。长16.75、宽22.8、厚5.41毫米，重1.62克（图三四）。

石斧毛坯 3件。此类器物以往并不多见，目前发现的标本均已残断。一般选择厚板状石英砂岩砾石，沿两侧边连续双面加工，主要以硬锤修理，但不排除在加工过程



图三三 三角形琢背小石刀  
(QX14T1③-3: 64)



图三四 石尖状器  
(QX14T1②-1: 78)

中使用软锤技术。两面中心部位一面保留一部分砾石面，另一面通体加工。QX14T1③-1: 20，灰白色石英砂岩，毛坯为较厚的板状石块。

沿侧边连续双面加工，在较凸的一面中部保留有砾石自然面。除残断部分，刃缘加工长度比例达100%，修疤连续、疤痕较深，加工深度长，刃角为72度、79度、87度。长97.35、宽71.71、厚35.7毫米，重326.12克（图三五）。QX14T1③-1: 26，黄色石英砂岩，毛坯为较厚的板状石块。加工刃缘两条，一侧边单向加工，一侧边对向加工，在一面中部保留有砾石自然面。除残断部分，刃缘加工长度比例达100%，修疤连续、疤痕较深，加工深度长，刃角为76度、71度、88度。长106.45、宽78.67、厚30毫米，重356.57克（图三六）。QX14T1②-2: 33，灰白色石英砂岩，毛坯为较厚的板状石块。沿石块周边连续加工，在侧边双面加工，较凸的一面中部保留有砾石自然面。除残断部分，刃缘加工长度比例达100%，修疤连续、疤痕较深，加工深度长，刃角43度。长64.78、宽57.7、厚20.3毫米，重92.9克（图三七）。

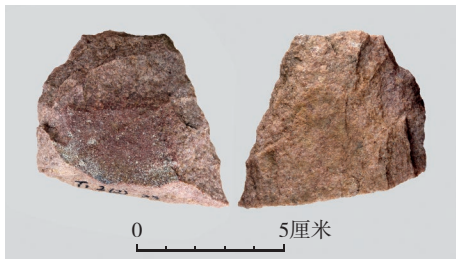
铍状器 2件，形制不规整。一般选择薄板状石英砂岩单面加工而成。因和旧石器时代末期的石铍相似，暂定名为“铍状器”。



图三五 石斧毛坯 (QX14T1③-1:20)



图三六 石斧毛坯 (QX14T1③-1:26)

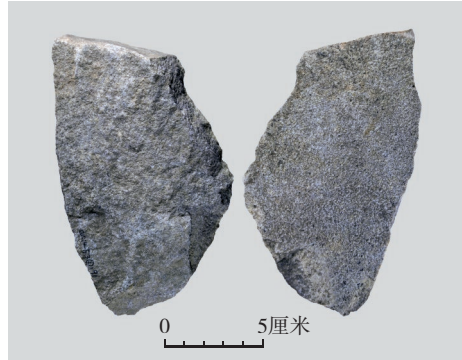


图三七 石斧毛坯 (QX14T1②-2:33)

QX14T1③-2:91, 青灰色石英砂岩, 毛坯为较薄的板状砾石。一面中部保留部分自然面。单面加工, 加工刃缘一条, 为凸刃。刃缘加工长度比例达100%, 修疤连续、疤痕深, 加工深度中, 刃角为69度、74度。长146.15、宽84.5、厚26.35毫米, 重468.82克(图三八)。

**研磨工具** 此次发现带有磨痕的石制品有两类, 一类是大型的扁平砾石, 即《调查报告》中的“研磨盘”。另一类是磨锤(似磨棒), 为小型的砾石, 可能与大型的扁平砾石配套使用。其主要特征是至少有一个平面有明显的研磨痕迹, 甚至被磨出凹面。

**研磨盘** 22件。一般出现在火塘周围。



图三八 石锤状器 (QX14T1③-2:91)

有的一面有明显的磨痕, 有的两面都有磨痕, 有的上面还有砸痕。原料均为石英砂岩扁平砾石。长最大360毫米, 最小246.11毫米, 平均221.02毫米; 宽最大240毫米, 最小104.14毫米, 平均167.39毫米; 厚最大83.51毫米, 最小31.9毫米, 平均58.7毫米。最大1件为QX14T1③-1:69, 长360、宽203.74、厚83.51毫米, 重4022克; 最小1件为QX14T1②-1:118, 长155.69、宽135.79、厚31.9毫米, 重942克。QX14T1②-1:213, 约为一板状紫黑色石英砂岩块的四分之一。一面十分平整, 研磨痕迹明显。长120.48、宽69.05、厚39.67毫米, 重465.18克(图三九)。

**磨锤(似磨棒)** 7件。有磨痕的小砾石, 均有一面较平, 且有明显的磨光痕迹。石料为各色石英砂岩, 长最大120.48毫米, 最小52.21毫米, 平均74.85毫米; 宽最大69.05毫米, 最小33.4毫米, 平均49.52毫米; 厚最大46.4毫米, 最小18.13毫米, 平均31.65毫米。最大1件为QX14T1②-1:213, 长120.48、宽69.05、厚39.67毫米, 重465.18克, 最小1件为QX14T1③-1:152, 长59.37、宽33.4、厚18.13毫米, 重48.07克。QX14T1③-1:151、152可拼合在一起, 可能是在埋藏过程中断裂。QX14T1④-3:1, 浅红色石英砂岩。大小适于手握, 较凸的一面有一约3平方厘米的小磨平面。长90.6、宽58.32、厚46.4毫米, 重367.44克(图四〇)。

**砾石或石料** 共出土未经过加工的石块



图三九 石研磨盘 (QX14T1②-1 : 213)



图四〇 石磨锤 (QX14T1④-3 : 1)

177件，质地为石英砂岩。其中33件为石料，其余为块状砾石。石块大小多在100毫米左右，据其用途可分两类，一类用作构筑火塘，一般见于火塘周围，个别有火烧痕迹；另一类可能是打制石器的原料，但二者的外观没有本质区别。除出自火塘周围的砾石外，其余难以确定是用作构筑火塘或打制石器的原料。

#### (二) 赤铁矿或颜料

QX2014T1共发现铁矿石37块。多为黑色块状，质地致密，有的表面有一层红色物质。经化验无论红色还是黑色，成份主要为三氧化二铁；另在火塘周围的泥土中经常会发现微小的红色颜料。经对现代赤铁矿的观察，现代开采的赤铁矿往往黑红色共生在一起，推测黑色赤铁矿风化后为红色。需注意的是，所发现的赤铁矿石很少用于打片和加工工具，并很少发现打击点等石锤打击过的痕迹，说明其自然状态应为块状。

#### (三) 植物遗存

在发掘过程中还对部分泥土进行淘洗和浮选，发现了大量的植物种子，包括禾

本科中的薏米 (*Coix lacryma-jobi* var. *mayuen*)、红蓼 (*Polygonum orientale* L.)、苋属 (*Amaranthus* sp.)。但从埋藏角度来看，这些植物遗存主要出自地表下几十厘米的堆积内，在较深的地层中并未发现。QX2014T1所处位置由于20世纪70年代砖厂取土，目前地表的土层已超过3万年，属于旧石器时代晚期早段；QX2014T2最上面的地层年代较晚，为距今2.7~2.5万年。也就是说，两探方最上面厚约0.3米的堆积年代分别属于旧石器时代晚期早段和旧石器时代晚期中段，但都浮选出同样的植物种子，而在0.3米以下的地层堆积中则很少浮选出植物种子。在发掘过程中，还发现探方中常有一些裂纹由地表向下延伸至一定的深度，有的几十厘米，有的会更深一些。综合这些现象，我们推测这些植物种子可能是比较晚近时期的地表植物沿裂隙落入早期地层中。为了进一步弄清这个问题，我们选取半个薏米种子 (标本号 QX14T2③-5 : 78) 送到贝塔实验室进行测年，得到的年代数据为距今 $108.8 \pm 0.3$ 年。

## 四、结 语

通过发掘，我们对富益河圪梁地点甚至是下川遗址有了以下新的认识。

第一，下川遗址不仅是具有细石叶技术的遗址，也包含了中国北方地区主要的石器工业类型——简单石核-石片技术。就QX2014T1而言，上部原生地层因砖厂取土遭到破坏，致使包含细石叶技术的文化层缺失，本次发掘的层位仅包含简单石核-石片文化遗存，校正后年代为距今 $33070 \pm 330$ 年，属于旧石器时代晚期早段。

第二，从QX2014T1发掘的材料来看，下川遗址中的简单石核-石片技术，具有中国北方简单石核-石片技术的普遍特征，如原料选择上既有遗址附近的石英砂岩，也有远距离输入的黑色燧石；剥片和修理都为硬锤直接打片技术；石器类型以刮削器为主，

尖状器和锯齿刃器数量少且不典型。但大量出现的楔形析器、双面加工的石斧及单面加工的铍状器，在其他遗址中并不多见。以大的扁平砾石（研磨盘）和小砾石（磨锤）组合而成的研磨工具与火塘、赤铁矿常常伴生出现，这表明下川遗址富益河圪梁地点可能与加工赤铁矿粉有关。在以往报道中，下川遗址常常被认为是粟作农业的起源地，但从此次发掘的情况来看，下川遗址所出研磨工具不仅年代上远远早于农业起源的时间段，而且伴出大量的赤铁矿石、赤铁矿粉，说明这些研磨工具的用途可能与农业起源关系不大，更可能是加工赤铁矿粉的工具。

第三，虽在淘洗过程中发现了一些炭化的植物种子，但通过埋藏学分析和碳十四测

年来看，可能是晚近时期混入的遗物，这提示我们在考古发掘过程中一定要注意埋藏过程及微细地层对比的研究，只有遗物本身的碳十四年代才是可靠的。

附记：本文得到国家社科基金重大项目（批准号20&ZD257）的资助。线图和照片由李三灵绘制和拍摄，特致谢忱。

执笔者 杜水生 任海云 张婷

#### 注 释

- [1] 王建等：《下川文化——山西下川遗址调查报告》，《考古学报》1978年第3期。
- [2] 中国社会科学院考古研究所、山西省考古研究所：《下川——旧石器时代晚期文化发掘报告》，科学出版社，2016年。

（责任编辑 李学来）

○读者·作者·编者

## “本刊特稿——中国特色、中国风格、中国气派的考古学”编后记

2020年9月28日，中共中央政治局以我国考古最新发现及其意义为题举行第23次集体学习，习近平总书记发表重要讲话。习近平总书记指出，经过几代考古人接续奋斗，我国考古工作取得了重大成就，延伸了历史轴线，增强了历史信度，丰富了历史内涵，活化了历史场景。考古发现展示了中华文明起源和发展的历史脉络，展示了中华文明的灿烂成就，展示了中华文明对世界文明的重大贡献。习近平总书记强调要努力建设中国特色、中国风格、中国气派的考古学，更好认识源远流长博大精深的中华文明。

中国考古学已走过百年历程，成果丰硕，人才辈出，学科体系的建设与完善、理论方法的创新与发展也取得了巨大成就。在此历史节点上，为了深入学习和贯

彻习近平总书记重要讲话精神，本刊特别组织专栏文章，阐释中国特色、中国风格、中国气派的考古学的理论体系和核心内涵，思考中国考古学的未来和方向。当今中国考古学应该站在新时代的高度，加强考古能力和学科建设，做好考古成果的挖掘、整理、阐释工作，用唯物史观来总结和认识中华文明的历史和内涵，认识中华民族走过的历程，认识中国历史发展的规律，系统思考考古学的成就及其对国家发展的重大社会政治意义。广大考古工作者需要进一步坚定文化自信，努力构建和完善中国考古学的学科体系、学术体系、话语体系，为促进新时代中国特色哲学社会科学的繁荣和发展做出新的努力。

（本刊编辑部）